

ЭФФЕКТ ПЕРЕФОКУСИРОВКИ: МЕХАНИЗМ ФОРМИРОВАНИЯ ИЗОБРАЖЕНИЙ В ОПТИЧЕСКИХ СХЕМАХ С ФАЗОВЫМ ПРОСТРАНСТВЕННЫМ МОДУЛЯТОРОМ СВЕТА

Ю.Д. Думаревский, Н.Ф. Ковтонюк, И.Н. Компанец, А.В. Парфенов, Г.А. Петровичева, А.И. Савин

УДК 532.783

Проанализированы особенности формирования изображения в оптической схеме с пространственным фазовым модулятором света. Хорошее согласие с экспериментом дает модель, исходящая из наличия на границе деформированной и недеформированной областей жидкого кристалла пары линз, одна из которых отрицательна, а другая положительна.

Ранее было обнаружено /1/, что в оптической схеме с фазовым жидкокристаллическим пространственным модулятором света (ПМС) можно наблюдать два резких преобразованных ПМС изображения при неизменном расположении отображающего объектива. Одно из них является негативным, а другое — при ортогональном положении анализатора — позитивным. Оба изображения расположены на оптической оси по разные стороны от плоскости геометрического изображения и перемещаются при изменении яркости регистрируемого изображения и напряжения на ПМС, т.е. наблюдается перeofокусировка оптической схемы.

Рассмотрим прохождение плоской световой волны через слой жидкого кристалла (ЖК) в ПМС. Предположим, что в какой-либо области ЖК существует квазиступенчатое изменение показателя преломления. Ширина переходной области Δx определяется наибольшей из двух величин: минимальным разрешаемым ПМС элементом или минимальным элементом в регистрируемом изображении.

На кривой переходной характеристики $\Delta\phi(x)$ (зависимости относительного сдвига фазы от пространственной координаты в плоскости ЖК) можно выделить два участка по разные стороны от точки перегиба кривой, где знаки оптической силы микролинз, образующихся из-за градиента показателя преломления ЖК, противоположны — одна из линз является отрицательной, другая — положительной. Переходная характеристика симметрична /2/ отно-

сительно точки перегиба, фокусные расстояния обеих микролинз равны по модулю, и в предположении квадратичной зависимости показателя преломления от координаты x на указанных участках

$$F \approx \pm (\Delta x)^2 / 2\Delta n L, \quad (1)$$

где Δn – разность показателей преломления на двух участках характеристики; L – толщина слоя ЖК (должна быть удвоена, если свет отражается в ПМС и проходит через слой ЖК).

Благодаря такой фокусировке распределение интенсивности в плоскостях $z_0 \pm F$ обострено по сравнению с распределением в плоскости слоя ЖК z_0 (наблюдение переходной области в поляризационном микроскопе дает в 2-3 раза меньшую ширину при настройке на плоскости $z_0 \pm F$ по сравнению с плоскостью z_0). При построении с помощью проецирующей линзы преобразованного фазовым ПМС изображения экспериментатор, естественно, добивается наибольшей резкости краев деталей в изображении на выходе оптической схемы, а потому настраивает схему на получение изображения плоскостей $z_0 \pm F$, а не плоскости z_0 . Соответственно, на выходе будут наблюдаться два изображения. Описанная ситуация имеет место только для бинарных изображений, в случае же полутоночных изображений однозначно такие плоскости найти нельзя вследствие неодинаковости оптической силы микролинз в различных точках плоскости ЖК.

Наблюдаемые изображения отличаются состоянием поляризации света, поскольку фазы лучей света, фокусируемых разными микролинзами, не одинаковы. Соответственно, при преобразовании фазовой модуляции в поляризационную (достигается установлением угла 45° между осью ЖК и плоскостью поляризации падающей световой волны /3/), а затем – с помощью анализатора – в амплитудную, оба изображения имеют противоположный контраст.

Сила линз, даваемая формулой (1), может быть вычислена при следующих типичных значениях величин, входящих в нее: $\Delta x \approx 3 \cdot 10^{-5}$ м, $L \approx 10^{-5}$ м. Величину Δn определим из условия получения достаточно контрастного и яркого изображения, поскольку именно в таких условиях и проводятся наблюдения. В этом случае $\Delta\varphi = 4\pi L \Delta n / \lambda \approx \pi/2$, где λ – длина волны света ($\lambda = 5 \cdot 10^{-7}$ м). Тогда $F = \pm 2(\Delta x)^2 / \lambda = \pm 4 \cdot 10^{-3}$ м.

Таким образом, плоскости $z_0 \pm F$ сдвинуты от плоскости z_0 слоя ЖК на расстояние порядка 4 мм. Вычислим, к какому это приведет сдвигу в пространстве изображений при отображении с помощью проецирующей линзы с фокусным расстоянием f . Проведем расчет с помощью обычных формул геометрической оптики

$$1/a + 1/b = 1/f, \quad (2)$$

$$(a + \delta a)^{-1} + 1(b + \delta b)^{-1} = 1/f. \quad (3)$$

Уравнение (2) соответствует обычному геометрическому изображению, а уравнение (3) — изображениям плоскостей $z_0 \pm F$. При этом $a = z_0$ есть расстояние от предметной плоскости до проецирующей линзы, b — расстояние от линзы до плоскости изображения; соответственно δa и δb есть сдвиги упомянутых плоскостей, причем $\delta a = \pm F$. Изображение объекта (слоя ЖК в данном случае) получают, помещая объект перед фокальной плоскостью линзы на некотором расстоянии Δ . Из уравнений (2) и (3), обозначая $a = f + \Delta$, получаем:

$$\delta b = -f^2 \delta a / [\Delta(\Delta + \delta a)], \quad (4)$$

где $\delta a = \pm F$ вычисляется по формуле (1). Проведем оценку δb , взяв следующие значения: $f = 11$ см, $\Delta = 1,1$ см, $\delta a = 0,4$ см. Формула (4) дает два значения: $\delta b^+ = -29$ см (что соответствует $\delta a = F$) и $\delta b^- = 63$ см (при $\delta a = -F$). Сама величина $b = 121$ см. Таким образом, изображения должны наблюдаться на расстояниях от проецирующей линзы 92 см и 184 см одновременно; это соответствует экспериментальным данным с точностью около 5%.

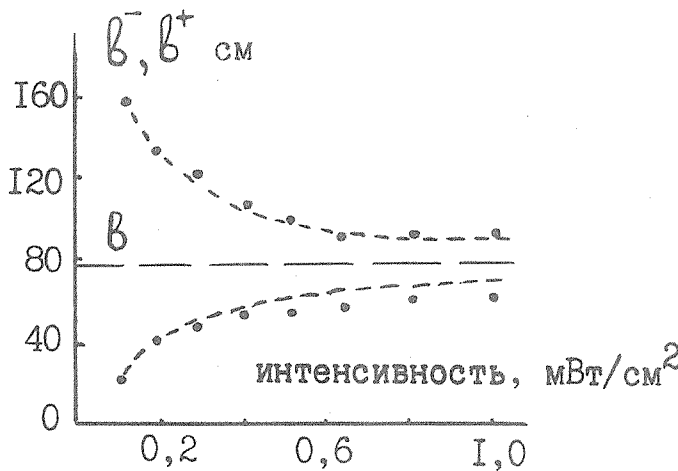


Рис. 1. Зависимости положения плоскостей резкого изображения от интенсивности регистрируемого изображения, точки — экспериментальные кривые, пунктир — расчетные; горизонтальная прямая (b) — расчетное положение плоскости геометрического изображения. Эксперименты и расчеты выполнены при $a \approx 14,1$ см; $f = 11,8$ см (точность измерений 5%)

Дополнительную возможность проверки модели дает сравнение зависимости положения плоскостей изображения от интенсивности (яркости) регистрируемого изображения. На рис. 1 показаны экспериментальная зависимость и зависимость, полученная из расчетов по формулам (1) и (4), в которых исходными данными были измеренная (линейная) зависимость сдвига фазы модулируемого света в жидкокристаллическом ПМС от интенсивности регистрируемой световой картины /4/. Неточное знание Δx и различие длин волн, используемых для модуляции в данных экспериментах и в экспериментах /4/, учтено поправочным множителем в формуле (1) для точного совпадения при малых интенсивностях. Наличие расхождения между расчетными и экспериментальными данными при больших интенсивностях является следствием как неточности измерения Δ , так и неучтенной в расчете зависимости разрешающей способности от интенсивности регистрируемого изображения. Тем не менее, расчет совпадает с экспериментом вполне удовлетворительно.

Наблюдаемое явление перефокусировки оптической схемы с жидкокристаллическим ПМС может быть применено для решения задач оптической обработки информации.

Поступила в редакцию 14 февраля 1984 г.

После переработки 14 мая 1984 г.

ЛИТЕРАТУРА

1. Ю.Д. Думаревский и др., ДАН СССР, 276, № 3, 624 (1984).
2. А.А. Васильев, Труды ФИАН, 126, "Наука", М., 1981 г., с. 3-76.
3. Е.Р. Мустель, В.Н. Парыгин, Методы модуляции и сканирования света, "Наука", М., 1970 г., с. 15.
4. А.В. Парфенов, Диссертация, ФИАН, М., 1981 г., с. 69.